

극 부호의 ECCT와 연속 제거 리스트 복호기의 성능 분석

안현태, 주효상, 김상호*
성균관대학교

iamshkim@skku.edu*

On the Performance of Error Correction Code Transformer and Successive Cancellation List Decoder of Polar Codes

Hyun Tae Ahn, Hyosang Ju, Sang-Hyo Kim*
Sungkyunkwan University

요약

본 논문은 오류 정정 부호 기술 중 딥 러닝을 이용한 Error Correction Code Transformer (ECCT)의 복호 성능을 기존 극부호의 연속 제거 리스트(Successive cancellation List: SCL) 복호기의 성능과 비교한다. 짧은 부호길이 및 매우 높은 부호율에서는 ECCT가 매우 우수한 성능을 가지나, 길이가 길어지거나 부호율이 낮아질수록 CRC 부호를 활용한 SCL 복호기에 비해 성능 경쟁력이 떨어짐을 확인하였다.

I. 서론

최근 딥 러닝 기술이 발전함에 따라 다양한 딥 러닝이 개발되었다[2]. Model-free 복호기는 다양한 분야에서 사용되었지만 기존 퍼셉트론의 순차적 입력 처리 방식은 정보 비트 수에 따라 연산이 기하급수적으로 증가하는 문제가 존재하였다[2]. 하지만 Transformer의 Mask Self-attention 매커니즘을 통해 입력 간 연관성이 적은 정보는 masking을 하여 학습에서 제외하는 방법으로 연산을 줄일 수 있었다[2]. 이러한 Transformer의 특성을 오류 정정에 적용한 기술이 Error Correction Code Transformer (ECCT)이다[3]. ECCT는 패리티 검사 행렬(Parity Check Matrix: PCM)을 통해 비트 간의 상호 작용을 나타내는 mask matrix를 구한 후 이를 Transformer에 입력하여 인공지능이 학습한 모델로 복호화 하는 기술이다. 기존의 오류정정부호가 소스 비트(혹은 부호어 비트)를 추정하는 방식을 사용하는 것에 반해, ECCT는 잡음을 학습하여 올바른 부호어 추정을 하는 것이 가장 큰 특징이다.

본 논문에서는 다양한 부호 파라미터에 대해 극 부호의 PCM을 직접 설계한 후 학습을 진행하고, 성능을 검증한다. 논문 [3]에서는 제안한 ECCT 복호기의 성능을 신뢰 전파(belief propagation: BP) 복호기의 성능과 비교하였으나, 일반적으로 유한 길이 BP 복호기 성능은 연속 제거 리스트(successive cancellation list: SCL) 복호기에 비해 매우 저하된다. 따라서, 본 연구에서는 짧은 길이에서 ECCT와 SCL 기반 복호기의 성능을 비교한다. 구체적으로, 순환 중복 검사(cyclic redundancy check: CRC) 부호가 연결되지 않은 경우와 연결된 경우의 성능과 각각 비교한다. 실험 결과, 매우 짧은 길이 및 높은 부호율에서는 ECCT 복호기가 매우 우수한 성능을 갖는 반면, 부호길이가 길어지고 부호율이 낮아질수록 CRC-aided SCL (CA-SCL) 복호기가 압도적인 성능을 가지는 것을 확인하였다.

II. 본론

A. 극 부호 설계 및 연속제거 리스트 복호기

극 부호는 채널 합성(combining)과 분리(splitting) 과정을 통한 채널 양극화(channel polarization)에 기반해 부호를 설계할 수 있다. 채널 양극화에 의해 채널 용량의 변화가 생겨 총 $N(=2^n, n \geq 1)$ 개의 분리 채널 $\{W_N^{(i)}: 0 \leq i \leq N-1\}$ 이 생성된다. N 개의 분리 채널 중에서 용량이 높은 채널 K 개에 정보를 담아 전송하고, 남은 $(N-K)$ 개의

채널에는 고정된 값을 전송한다[1]. 본 논문에서는 부호길이가 N 이고 정보 비트 수가 K 인 극 부호를 ' (N, K) 극 부호'라 정의한다. 극 부호의 생성 행렬은 $G_N = G_2^{\otimes n}(n = \log_2 N, G_2 = \begin{bmatrix} 1 & 0 \\ 1 & 1 \end{bmatrix})$, \otimes 는 크로네커 곱(Kronecker product)이다. 분리채널의 신뢰도를 구하는 방법은 여러 가지가 있는데, 본 연구에서 사용된 부호 시퀀스는 논문 [6]에서 제안된 가중치 합 방법의 신뢰도 평가 방법에 기반해 설계한 시퀀스이다. 구체적으로 인덱스가 $i = (i_{n-1} \dots i_1 i_0)$ 인 채널의 신뢰도는 $P_N^{(i)} = \sum_{l=0}^{n-1} b_l 2^{i/4}$ 와 같다.

위 설계를 통해 얻어진 이진 소스 벡터 $\mathbf{u}_0^{N-1} = (u_0, u_1, \dots, u_{N-1})$ 는 생성행렬 G_N 과 곱을 통해 부호어 벡터 $\mathbf{x}_0^{N-1} = \mathbf{u}_0^{N-1} G_N$ 이 되고 백색 가우시안 잡음(Additive White Gaussian Noise: AWGN) 채널을 통과하여 수신 신호 \mathbf{y}_0^{N-1} 이 얻어진다. SC 복호기는 소스 비트 벡터 $\hat{\mathbf{u}}_0^{N-1} = (\hat{u}_0, \hat{u}_1, \dots, \hat{u}_{N-1})$ 를 결정함수 $h_i(\mathbf{y}_0^{N-1}, \hat{\mathbf{u}}_0^{i-1})$ 를 통해 한 비트씩 순차적으로 추정하며 [6], 결정함수는 아래와 같이 표현할 수 있다.

$$h_i(\mathbf{y}_0^{N-1}, \hat{\mathbf{u}}_0^{i-1}) = \begin{cases} 0, & \ln \frac{W_N^{(i)}(\mathbf{y}_0^{N-1}, \hat{\mathbf{u}}_0^{i-1} | u_i = 0)}{W_N^{(i)}(\mathbf{y}_0^{N-1}, \hat{\mathbf{u}}_0^{i-1} | u_i = 1)} \geq 0, \\ 1, & \text{otherwise.} \end{cases}$$

SC 복호기의 성능을 개선하기 위해, SCL 복호기가 개발되었다 [4]. SCL은 극 부호의 부호 트리(decoding tree)에서 전체 경로 중 우도가 높은 L 개의 경로를 선택하고, 최종 복호 시 살아남은 L 개의 경로 중 가장 낮은 경로 메트릭(path metric: PM)을 가지는 부호어를 선택하여 복호한다[4][6]. 또한 CRC 부호를 활용해 SCL 복호기의 성능을 더욱 개선할 수 있다[5][6].

B. 트랜스포머 및 ECCT 복호기

Transformer는 기존 딥 러닝과 다르게 입력 시퀀스의 길이에 상관없이 병렬 처리가 가능하다[2]. RNN (Recurrent Neural Network), CNN (Convolutional Neural Network) 구조를 사용하지 않고, 입력 간의 연관성, 입력과 출력의 관련성을 나타내는 Attention만을 이용하여 학습을 진행한다. Transformer의 병렬 처리 구조는 입력 시퀀스가 순차적으로 이루어지지 않아 위치에 대한 정보가 누락된다. Transformer의 단점을 개선하기 위해 입력된 정보에 위치 정보를 더하여 학습을 진행한다. 입력 값과 위치 정보가 더해진 데이터는 self-attention을 통해 입력 정보 간 연관성을 파악하고, 이를 토대로 학습을 진행한다. 위 과정을 N 번 반복하여 encoding이 이루어진다. Decoder에서는 입력 값과 출력 값 사이의 상호 연관성을 나타내는 attention을 통해 출력을 결정한다 [2].

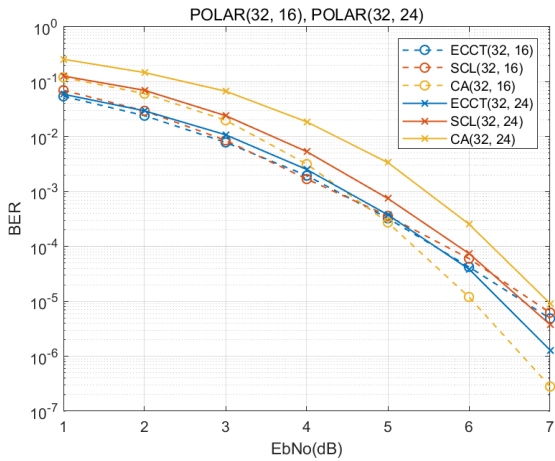


그림 1. 복호 방법에 따른 (32,16), (32,24) 극부호의 BER 비교

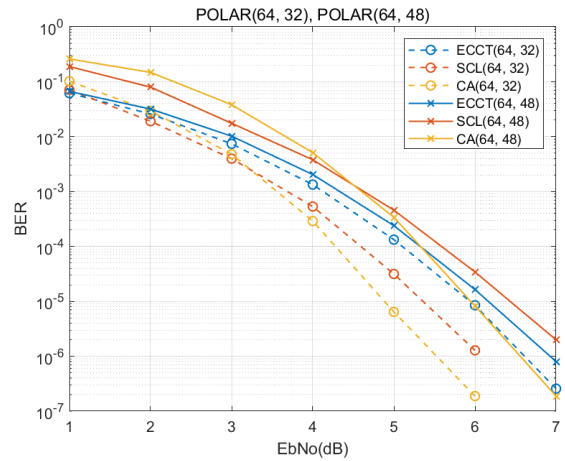


그림 2. 복호 방법에 따른 (64,32), (64,48) 극부호의 BER 비교

이러한 Transformer 의 특성을 이용하여 채널부호 복호기에 적용한 것이 ECCT 이다. 부호어가 AWGN 채널을 통해 전송되면 노이즈가 더해진 신호 \mathbf{y}_0^{N-1} 이 수신된다. Initial embedding 층에서 \mathbf{y}_0^{N-1} 를 $\hat{\mathbf{y}}_0^{N-1}$ ($\hat{\mathbf{y}}_0^{N-1} = [\mathbf{y}_0^{N-1}, \mathbf{s}(\mathbf{y}_0^{N-1})]$) 로 변환하여 Transformer 에 입력한다. Transformer 는 위치 정보를 별도로 저장해주어야 하므로 1bit 마다 $d \in \{32, 64, 128\}$ 개의 embedding dimension 으로 나눠 저장한다[3]. Initial embedding 층을 거친 후, decoder Layer 층에서는 분리 채널의 신뢰도가 낮은 $(N - k)$ 개의 패리티를 이용하여 생성한 PCM 으로 masked self-attention 을 생성한다. $(2n - k)$ bit 의 $\hat{\mathbf{y}}_0^{N-1}$ 입력에서, 서로 연관되어 있는 bit 는 1 로 masking 을 하지 않고 연관되어 있지 않은 bit 는 0 으로 masking 을 하여 Mask Matrix 를 생성한다. Decoder Layer 층은 N 번 반복하여 진행한다. Output layer 층에서는 Initial embedding 층과 Decoder Layer 층의 과정을 역으로 수행하여 n bits 의 노이즈를 예측하고($\hat{\mathbf{z}}_0^{N-1}$), 수신된 부호어 \mathbf{y}_0^{N-1} 와 연산을 진행하여 원래의 신호 \mathbf{x}_0^{N-1} 를 추정한다 [3].

III. 실험 결과

논문 [3]에서 embedding layer 를 나타내는 d 는 32, 64, 128 로 커질수록 성능이 좋아지고, decoder layer 의 반복 횟수인 N 역시 2,6 으로 커질수록 성능이 좋아지는 것을 보였다. 본 논문에서는 $d=128$, $N=6$ 으로 설정하고 부호율, 부호 길이에 따른 ECCT, SCL, CA-SCL 성능을 비교한다. Epoch 값의 경우 대략 700 epochs 부터 성능이 수렴되어 1000 epochs 에서 대체로 안정적인 성능을 제공함에 따라, 본 논문에서는 epoch 의 횟수를 1000 으로 설정하였다.

그림 1 은 (32,16), (32,24) 극 부호의 ECCT, SCL, CA-SCL 복호기의 비트 오류율(bit-error rate: BER) 성능을 비교한 그래프이다. (32, 16) 극 부호의 성능 그래프에서 ECCT 와 SCL 의 개형이 거의 일치한다. (32,24) 극부호의 경우 ECCT 복호기가 기존의 SCL 및 CA-SCL 복호기에 비해 매우 우수한 성능을 갖는다. 하지만, (32,16) 극부호에서는 패리티 비트 수가 증가함에 따라 ECCT 복호기가 CA-SCL 복호에 비해서는 BER= 10^{-5} 기준 약 0.4dB 저하된 성능을 가짐을 알 수 있다.

그림 2 는 (64,32), (64,48) 극부호의 ECCT, SCL, CA-SCL 복호기의 성능을 나타낸다. 먼저 (64,48) 부호에서는 BER= 10^{-4} 보다 높은 영역에서는 ECCT 복호기의 성능이 가장 우수하나, 더 낮은 BER 영역에서는 성능 역전이 발생해 CA-SCL 복호기가 BER= 10^{-5} 에서 약 0.2dB 성능 이득을 갖는다. 이러한 성능 격차는 (64,32) 극부호에서 더욱 커진다. 구체적으로 ECCT 복호기는 SCL 및 CA-SCL 복

호기에 비해 BER= 10^{-5} 기준 각각 0.6, 1.1dB 저하된 성능을 갖는다. 즉, 매우 짧은 길이 및 높은 부호율에서는 ECCT 복호기가 매우 경쟁력 있는 성능을 가짐에 비해, 부호길이가 길어지고 부호율이 낮아질수록 ECCT 복호기의 성능이 state-of-art CA-SCL 복호기 대비 크게 저하되는 것을 확인할 수 있다.

IV. 결론

본 논문에서 ECCT 복호기 성능을 기존 극부호의 SCL, CA-SCL 복호와 비교하였다. 실험 결과, 부호 길이가 32 로 짧고 부호율이 0.75 로 클 때 ECCT 의 성능이 SCL 과 CA-SCL 의 성능보다 좋다. 하지만 부호 길이가 길어지거나 부호율이 작아지면 SCL 과 성능이 비슷해지고, CA-SCL 과는 성능 역전이 일어난다. 부호 길이가 길고 부호율도 작은 경우에는 ECCT 의 성능이 가장 좋지 않다. 따라서 학습 범위 조정, ECCT 구조 변화 및 Mask Matrix 의 변화를 통한 ECCT 부호의 중간 부호율 성능 개선에 대한 추후 연구가 필요하다.

ACKNOWLEDGMENT

이 논문은 2021 년도 정부(과학기술정보통신부)의 재원으로 한국연구재단의 지원을 받아 수행된 기초연구사업임(NRF-2021R1A2C1008913) 및 2023 년도 정부(과학기술정보통신부)의 재원으로 정보통신기획평가원의 지원을 받아 수행된 연구임(No.2021-0-00794, 3 차원 공간 이동통신 기술 개발).

참고 문헌

- [1] E. Arıkan, "Channel polarization: A method for constructing capacity-achieving codes for symmetric binary-input memoryless channels." *IEEE Trans. on Inf. Theory* 55.7 (2009): 3051-3073.
- [2] A. Vaswani *et al.*, "Attention is all you need." *Advances in neural inf. processing systems* 30 (2017).
- [3] Y. Choukroun and L. Wolf. "Error correction code transformer." *Advances in Neural Inf. Processing Systems* 35 (2022): 38695-38705.
- [4] I. Tal and A. Vardy. "List decoding of polar codes." *IEEE Trans. on Inf. Theory* 61.5 (2015): 2213-2226.
- [5] K. Niu and K. Chen. "CRC-aided decoding of polar codes." *IEEE Commun. Lett.* 16.10 (2012): 1668-1671.
- [6] G. He *et al.*, "Beta-Expansion: A Theoretical Framework for Fast and Recursive Construction of Polar Codes," *2017 IEEE Global Commun. Conf.*, Singapore, 2017, pp. 1-6.